

Таблица 2

№ кристалла	$\alpha = \frac{1}{2} \sum_i \Theta_i \cdot 10^3$ рад	$k_i$	$\Theta_i \cdot 10^3$ рад	$\Theta_i^2 \cdot 10^6$
1	5.10 <sup>-1</sup>	0.677	4.513	3.64
2	2.256	0.547	5.441	5.25
3	4.977	0.421	7.126	6.454
4	8.539	0.315	8.03	6.466
5	12.554	0.251	8.008	6.038
6	16.444	0.199	7.781	5.309
7	19.977	0.159	7.066	4.679
8	23.403	0.130	6.852	4.379
9	26.737	0.105	6.669	3.898
10	30.021	0.088	6.566	4.659

угол отклонения больше, чем для случая  $\alpha_i = 0.5 \cdot \bar{\Theta}_I$  ( $I=1, \dots, N$ ). Однако, как видно из сравнения коэффициентов отражения, приведенных в табл. 1, 2, во втором случае потеря в интенсивности отклоняемого пучка больше. Кроме этого, в обоих случаях наблюдаются осцилляции  $\bar{\Theta}^2$ , происхождение которых связано с геометрией системы [5], и, так же как и для протонов, данная система фокусирует пучок.

Таким образом, можно отклонять не только ионные пучки [4, 5], но и электронные. Причем для различных целей можно применять одну из рассмотренных ориентаций. Для получения возможно большего угла отклонения наименьшим числом кристаллов целесообразно иметь ориентацию кристаллов  $\alpha_i \neq \alpha_{i+1}$ . Если же необходимо отклонение пучка с наименьшими потерями в интенсивности, то требуется, чтобы  $\alpha_i = \alpha_{i+1}$ .

### Список литературы

- [1] Tsyganov E. N. // Fermilab. TM-682. TM-684. Р. 1—8.
- [2] Кумагов М. А. // Письма в ЖТФ. 1980. Т. 5. Вып. 24. С. 1530—1531.
- [3] Водопьянов А. С., Головачук В. М., Елешев А. Ф. // Письма в ЖЭТФ. 1979. Т. 30. Вып. 7. С. 474—478.
- [4] Аккерман А. Ф., Чубисов М. А. // ЖТФ. 1981. Т. 51. Вып. 10. С. 2151—2152.
- [5] Vyatkin E. G., Taratin A. M., Vorobiev S. A. // Rad. Eff. 1984. Vol. 82. P. 97—101.
- [6] Vyatkin E. G., Dolgich V. A., Vorobiev S. A. // Rad. Eff. 1986. Vol. 100. P. 38—50.

Научно-исследовательский  
институт ядерной физики  
при Томском политехническом институте  
им. С. М. Кирова

Поступило в Редакцию  
11 ноября 1988 г.

### РАДИАЛЬНАЯ НЕРАВНОМЕРНОСТЬ ПОГЛОЩЕНИЯ ТЕПЛОВЫХ НЕЙТРОНОВ В МОНОКРИСТАЛЛЕ КРЕМНИЯ ПРИ ЯДЕРНОМ ЛЕГИРОВАНИИ

A. H. Ерыкалов

Обычно кремниевый слиток стараются облучать в равномерном нейтронном потоке. Однако даже при одинаковой удельной экспозиции поверхности слитка по глубине облучение не будет равномерным. Рассматривая эту проблему в диффузационном приближении, авторы работы [1] пришли к заключению о незначительной величине получающейся неравномерности облучения по радиусу цилиндрического слитка монокристалла кремния. Действительно, в этом приближении радиальное распределение плотности потока тепловых нейтронов  $\Phi_D(r)$  описывается нулевой функцией Бесселя. Его отношение к среднему потоку по сечению слитка  $\bar{\Phi}_D$  будет

$$\frac{\Phi_b(r)}{\Phi_b} \simeq 1 - \frac{R^2}{8L^2} \left[ 1 - 2 \left( \frac{r}{R} \right)^2 \right] = 1 - \frac{3}{8} \Sigma_{tr} \Sigma_a (R^2 - 2r^2), \quad (1)$$

где  $R$  — радиус слитка,  $L$  — длина диффузии,  $\Sigma_{tr}$  и  $\Sigma_a$  — макроскопические транспортное сечение и сечение поглощения соответственно.

Здесь использовано условие  $r/L \ll 1$ , которое хорошо выполняется. Максимальная относительная неравномерность

$$P_b = \frac{\Phi_b(R) - \Phi_b(0)}{\Phi_b(R)} \simeq \frac{3}{4} \Sigma_{tr} \Sigma_a R^2 \quad (2)$$

и даже для  $R=10$  см составляет всего  $\sim 10^{-2}$ .

Диаметр монокристалла кремния много меньше длины свободного пробега нейтронов в нем, равной примерно 50 см [1]. В такой ситуации диффузионное приближение оказывается несправедливым, за исключением случая, когда сечение рассеяния окружающей диффузионной среды совпадает с сечением рассеяния монокристалла. Такое предположение имело место в одной из ранних работ [2], но в реальных реакторах сечения рассеяния окружающей кремний среды существенно больше. Поэтому более уместно кремниевый слиток рассматривать как очень слабо рассеивающую, близкую к вакууму полость, которую пересекают нейтроны. В таком транспортном приближении прямого пролета за счет поглощения нейтронов в слитке и анизотropии потока нейтронов на его поверхности также будет возникать неравномерность захвата нейтронов по сечению монокристалла. Предполагая ее малой, можно в интегральном уравнении Пайерлса

$$\Phi(r) = \int d\mathbf{r}' \Sigma_s \Phi(r') \frac{e^{-\Sigma |\mathbf{r}-\mathbf{r}'|}}{4\pi |\mathbf{r}-\mathbf{r}'|^2} \quad (3)$$

считать поток нейтронов под интегралом постоянным по поверхности и объему слитка и равным  $\Phi_s$ . Тогда

$$\Phi_T(r) = \frac{\Sigma_s}{\Sigma} \Phi_s + \frac{\Sigma_a \Phi_s}{\pi \Sigma} \int_0^{\pi/2} \sin \vartheta d\vartheta \int_0^\pi d\varphi e^{-(\Sigma \epsilon / \sin \vartheta)}, \quad (4)$$

где  $l = -r \cos \varphi + \sqrt{R^2 - r^2 \sin^2 \varphi}$ ,  $\Sigma_s$  — макроскопическое сечение рассеяния нейтронов,  $\Sigma = \Sigma_s + \Sigma_a$ .

Удерживая только члены до первого порядка малости по  $\Sigma R$ , для отношения плотности потока к среднему по сечению слитка получается следующее выражение:

$$\frac{\Phi_T(r)}{\Phi_T} \simeq 1 - \Sigma_a R \left[ E \left( \frac{r}{R} \right) - \frac{4}{3} \right], \quad (5)$$

где  $E$  — полный эмпирический интеграл второго рода.

Максимальная относительная неравномерность по сечению слитка

$$P_T = \frac{\Phi_T(R) - \Phi_T(0)}{\Phi_T(R)} \simeq \left( \frac{\pi}{2} - 1 \right) \Sigma_a R. \quad (6)$$

Из (6) и (5) следует, что неравномерность, вычисляемая в прямопролетном приближении, линейна по параметру малости  $\Sigma R$  и существенно выше, чем в диффузионном приближении, где она квадратична. Сама форма распределения по сечению слитка различается несильно. В прямопролетном приближении распределение более полого в центральной части слитка, следовательно, более резко возрастает вблизи периферии.

Оказывается, что радиальная неравномерность зависит от предположения об анизотропии плотности нейтронного потока на поверхности слитка. Она зависит от распределения источников и стоков нейтронов вблизи слитка. Например, при конечной высоте активной зоны  $H$  появляется торцевая утечка и аксиальная косинусоидальная зависимость нейтронного потока  $\Phi(z) \sim \cos(\pi z/H)$ . Перемещением слитков по высоте можно выравнять экспозицию по поверхности, однако, косинусоидальная форма нейтронного потока приводит к дополнительной радиальной неравномерности и появлению в формуле (5) слагаемого  $(\pi/4H)^2 (2r^2 - R^2)$ , а в (6)  $1/2 (\pi R/2H)^2$ . Добавочные члены пропорциональны квадрату радиуса

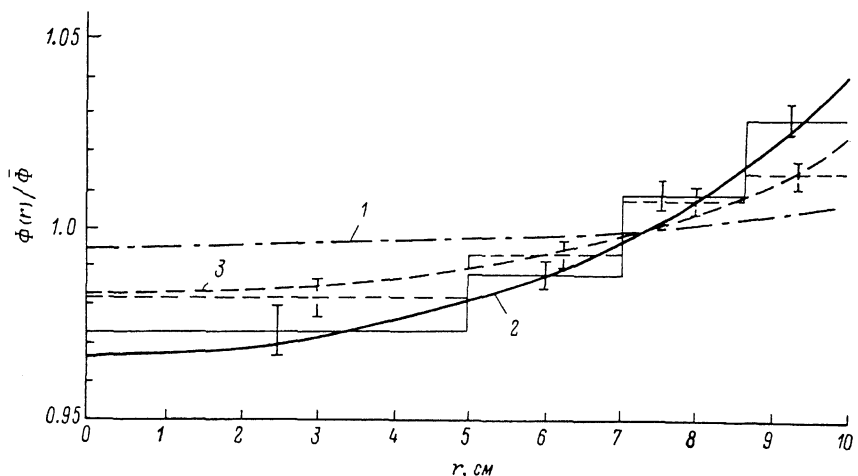
<sup>1</sup> Если использовать формализм условного разделения переменных, то в диффузионном приближении следует  $\Sigma_a$  заменить на  $\Sigma_a + 1/3 \Sigma_{tr} (\pi/H)^2$ . Тогда из (1) и (2) следует вдвое большие добавочные члены, т. е. такие же, как в прямопролетном приближении в плоскости  $z=0$ .

**Максимальная радиальная неравномерность захвата тепловых нейтронов**

$R$ , см	$\Sigma \cdot R$	$P_D$	$P_T$	$P_{TH}$
1	0.021	$1.1 \cdot 10^{-4}$	$4.0 \cdot 10^{-3}$	$4.3 \cdot 10^{-3}$
2	0.042	$4.4 \cdot 10^{-4}$	$8.0 \cdot 10^{-3}$	$9.4 \cdot 10^{-3}$
4	0.084	$1.8 \cdot 10^{-3}$	$1.6 \cdot 10^{-2}$	$2.2 \cdot 10^{-2}$
5	0.105	$2.8 \cdot 10^{-3}$	$2.0 \cdot 10^{-2}$	$2.9 \cdot 10^{-2}$
10	0.210	$1.1 \cdot 10^{-2}$	$4.0 \cdot 10^{-2}$	$7.4 \cdot 10^{-2}$
15	0.315	$2.5 \cdot 10^{-2}$	$6.0 \cdot 10^{-2}$	0.14

слитка, поэтому для малых диаметров их вклад несуществен. Однако уже при  $R=10$  см и  $H=50$  см они удваивают неравномерность. Облучение в реакторах с большой высотой по этой причине предпочтительнее. В районе медиальной плоскости реактора ( $z=0$ ) добавочные члены оказываются вдвое больше.

В таблице приведены значения максимальной неравномерности в диффузионном приближении  $P_D$ , в транспортном прямопролетном  $P_T$  и прямопролетном с учетом торцевой расщечки  $P_{TH}$  для эффективной высоты реактора 60 см и выравненной экспозиции по поверхности слитка.



Относительные распределения потока тепловых нейтронов по сечению кремниевого слитка  $\varnothing 200$  в диффузионном приближении (1), прямопролетном приближении для реактора с высотой  $H=60$  см (2), прямопролетном приближении при постоянном по высоте реактора потоке нейтронов (3).

Гистограммы соответствуют расчету методом Монте—Карло для случаев 2 и 3.

Распределение плотности потока тепловых нейтронов по радиусу кремниевого слитка приведено на рисунке, из которого видно существенное различие между расчетами в диффузионном и прямопролетном приближениях. На рисунке приведены гистограммы распределения плотности потока тепловых нейтронов по радиусу слитка, полученные модельным расчетом методом Монте—Карло для кремниевого слитка  $R=10$  см, размещенного в центре прямоугольного бериллиевого блока, который окружен активной зоной. Очевидно согласие прямопролетного приближения с расчетом методом Монте—Карло. Это указывает на то, что отброшенные члены при получении формул прямопролетного приближения малы и несильно влияют на результат.

Автор благодарен Т. И. Смирновой за проведение модельного расчета.

**Список литературы**

- [1] Ефимович О. Н., Соловьев С. П., Старицын Е. С. и др. // Атомная энергия. 1980. Т. 49. № 3. С. 189—191.
- [2] Janis H. M., Malmros O. // IEEE. Trans. Electr. Dev. 1976. Vol. ED-23. N 8. P. 797—802.

Ленинградский  
институт ядерной физики  
АН СССР

Поступило в Редакцию  
2 декабря 1988 г.